



## コンピュータコードの開発と利用 6. 地層処分システム性能評価のためのコード体系の開発

梅木 博之 畑中 耕一郎  
大井 貴夫 佐々木 憲明  
東海事業所  
環境技術開発部

資料番号：76-7

Development of Computer Code In PNC  
6. Development on Computer Codes and Their System  
for Performance Assessment of Geological Isolation  
System

Hiroyuki Umeki Kouichirou Hatanaka Takao Ohi Noriaki Sasaki  
(Waste Technology Development, Division Tokai Works)

高いレベル放射性廃棄物地層処分の多重バリアシステムの長期的な安全性を評価する上で、適切なモデル開発およびコード化を実施していく事は非常に重要である。地層処分システムにおいては、放射性核種が地下水を媒体として、処分場から生物圈まで移行するプロセスが最も重要な安全性評価の対象となるシナリオと考えられており、このシナリオに沿った評価モデルの開発コードの整備が進められている。本報告では、動燃事業団において開発、整備されている性能評価コードについて個別に説明し、それらの地下水移行シナリオに沿ったコードの統合化について述べ、最後にそれらのコードを用いて実施した評価例を紹介する。

### 6. 地層処分システム性能評価のためのコード体系の開発

#### 6.1 まえがき

高レベル放射性廃棄物 (HLW) には多くの核分裂生成物や TRU 元素が含まれ、その潜在的危険性はこれら放射性核種の半減期等に由来して長期間にわたる。地層処分は、長期的な地質学的时间において本来安定に存在するものである地層を利用してこのような HLW を人間の生活圏から安全に隔離しようとする技術であり、ガラス固化体、オーバーパック、緩衝材といった工学的要素 (人工バリア) と地層 (天然バリア) とを組み合わせた多重バリアからなるシステムとして考えられている。

地層処分の研究においては、多重バリアシステムの性能および長期にわたる安全性を明らかにし、我が国において地層処分が科学的・技術的に可能であることをまずもって示すことが必要である。そのため適切なモデルの開発とそのコード化によって予測解析を行うことにしている。

地層処分システムにおいては、放射性核種が地下水を媒体として、処分場から生物圈まで移行すると

いうプロセス (地下水移行シナリオと呼ばれる) が最も重要な安全性評価の対象となるシナリオと考えられており、このシナリオに沿った評価モデルの開発が進められている。対象としている個別現象については解明の進みつつあるものも多く、それらに対応したモデル、コードの開発も現象解明のための研究の進展に応じて進んできている。従って、モデル、コードの開発にあたっては、各個別現象を表わすモデルに対応するコードをモジュール化しており、これらを適切に組み合せることができるような結合アルゴリズムを開発しつつ全体評価システムを構築していくことが合理的である。ここでは、地層処分システムの構成要素に関する個別現象評価モデルおよびこれらを体系的に統合化した全体システム評価モデルに対応して開発したコードについて述べる。

このようなシステムの評価モデルと合わせて、各モデルの妥当性を判断するために行われる実験的研究の結果を効率よく解析するためのコードも必要である。このようなコードについても触ることにする。

## 6.2 個別現象コードの開発

本節では、地下水移行シナリオに沿って発生すると考えられる核種移行に関連する個別現象を解析するために開発されたコードについて説明する。

### (1) ニアフィールド\*核種移行コード「RELEASE」

本コードは、ガラス固化体から浸出した放射性核種が、ガラス固化体と周辺岩盤との間で緩衝材として使用されると考えられる粘土（ペントナイト）中を、崩壊、遅延を伴いながら移流分散により移行する現象をシミュレートすることができる。

基本方程式を(6.1)に示す。これは、円筒座標系半径方向1次元の多孔質媒体中の移流分散方程式であり、核種の崩壊、遅延を考慮したものである。解はこの方程式を有限差分法により定式化して求められる。ここで、遅延効果については平衡分配係数 $K_{dBi}$ により式(6.2)のように表されると仮定している。

$$R_{dBi} \frac{\partial c_i}{\partial t} = D_{Bi} \left( \frac{\partial c_i}{\partial r} + \frac{1}{r} \frac{\partial^2 c_i}{\partial r^2} \right) - V_B \frac{\partial c_i}{\partial r} - R_{dBi} \lambda_i c_i + R_{dBi-1} \lambda_{i-1} c_{i-1} \quad (6.1)$$

$$R_{dBi} = 1 + \frac{(1 - \epsilon_B)}{\epsilon_B} \rho_R K_{dBi} \quad (6.2)$$

ここに、

$\epsilon_B$ ：緩衝材の空隙率（-）

$\rho_B$ ：緩衝材の密度 ( $M/L^3$ )

$K_{dBi}$ ：緩衝材中の核種*i*の分配係数 ( $L^3/M$ )

$D_{Bi}$ ：緩衝材中の核種*i*の拡散係数 ( $L^2/T$ )

$V_B$ ：緩衝材中の地下水速度 ( $L/T$ )

$R_{dBi}$ ：緩衝材中の核種*i*の遅延係数（-）

$c_i$ ：核種*i*の濃度 ( $M/L^3$ )

$\lambda_i$ ：核種*i*の崩壊定数 ( $1/T$ )

ガラスからの核種の浸出は内側境界条件として与えられ、核種の浸出メカニズムに対応して、

① 溶解限度モデル

② 浸出率一定モデル

③ ガラス溶解の一次反応モデル

の3つのモードを扱うことができる。また、外側境界条件は周辺母岩での地下水流动条件に対応して、

① 濃度=0

② 緩衝材からの移行率一定

③ 均一混合セル

を扱うことができる。

\*地層処分の性能評価を行う上で、解析の対象となる領域は大きくニアフィールドとファーフィールドに分けられる。ニアフィールドは工学パリアで構成される処分場とその周辺地層の領域であり、ファーフィールドは処分場の位置を中心とした、天然パリア機能を有する地層が広がる広域的な領域である。

### (2) ファーフィールド\*水埋核種移行コード「FEMWATER/EFMWASTE-PNC」

「FEMWATER/FEMWASTE」は、米国オークリッジ国立研究所で開発、公開されている計算コードであり飽和および不飽和状態にある多孔質媒体とみなされる岩盤中の水埋および核種の移動現象をシミュレートすることができる。

このコードをベースとして、地層処分システムの全体評価コード体系へのモジュール化を行うため、物質移動に関するコード「FEMWASTE」をソースコードおよび崩壊連鎖を考慮できるように改良し、「FEMWASTE-PNC」を開発した<sup>(1)</sup>。これにより「RELEASE」のようなニアフィールド核種移行コードとの接続が可能となった。

地下水流动に関するコード「FEMWATER」は、多孔質媒体とみなされる岩盤中の飽和および不飽和部分において同時に成り立つ直交座標系鉛直二次元の地下水流动方程式(6.3)、(6.4)により与えられる。解はこの方程式を有限要素法により定式化して求められる。

$$F \frac{\partial h}{\partial t} = K_{xx} \frac{\partial^2 h}{\partial x^2} + K_{zz} \frac{\partial^2 h}{\partial z^2} (h + z) \quad (6.3)$$

$$F = \frac{\theta}{n} \alpha + \beta \theta + \frac{d \theta}{dh} \quad (6.4)$$

ここに、

$h$ ：圧力水頭 (L)

$K_{xx}$ ,  $K_{zz}$ ：不飽和透水係数 ( $L/T$ )

$\theta$ ：体積含水率（-）

$n$ ：岩体の空隙率（-）

$\alpha$ ：岩体の圧縮率 ( $1/L$ )

$\beta$ ：水の圧縮率 ( $1/L$ )

一方「FEMWASTE-PNC」では、放射性核種が多孔質媒体とみなされる飽和および不飽和状態にある岩盤中を崩壊、遅延を伴いながら移流分散により移行する現象をシミュレートすることができ、その基本方程式は(6.5)～(6.10)で与えられる。解法は有限要素法によっている。

$$R_{di} \frac{\partial c_i}{\partial t} = \frac{\partial}{\partial x} (D_{xxi} \frac{\partial c_i}{\partial x} + D_{zzi} \frac{\partial c_i}{\partial z}) + \frac{\partial}{\partial z} (D_{zxi} \frac{\partial c_i}{\partial x} + D_{xzi} \frac{\partial c_i}{\partial z}) - V_x \frac{\partial c_i}{\partial x} - V_z \frac{\partial c_i}{\partial z} - R_{di} \lambda_i c_i + R_{di-1} \lambda_{i-1} c_{i-1} + Q_i \quad (6.5)$$

ここに、

$R_{di}$ ：岩盤中の核種*i*の遅延係数（-）

$D_{xxi}$ ,  $D_{zzi}$

$D_{zxi}$ ,  $D_{xzi}$ ：岩盤中の核種*i*の分散係数 ( $L^2/T$ )

$V_x, V_z$  : 岩盤中の地下水水流速 (L/T)

$C_i$  : 核種  $i$  の濃度 (M/L<sup>3</sup>)

$\lambda_i$  : 核種  $i$  の崩壊定数 (1/T)

$Q_i$  : 核種  $i$  の逃げ出し (M/L<sup>3</sup>T)

式 (6.5) 中の分散係数および遅延係数は式(6.6)～(6.10)で表現される。

$$D_{xxi} = a_T V + \frac{(a_L - a_T) V_x^2}{V} + D_m T \quad (6.6)$$

$$D_{zzi} = D_{xxi} = \frac{(a_L - a_T) V_x V_z}{V} \quad (6.7)$$

$$D_{zxi} = a_T V + \frac{(a_L - a_T) V_z^2}{V} + D_m T \quad (6.8)$$

$$V = (V_x^2 + V_z^2)^{1/2} \quad (6.9)$$

$$R_{di} = 1 + \frac{(1 - \epsilon_R)}{\epsilon_R} \rho_R K_{di} \quad (6.10)$$

ここに、

$a_L$  : 岩盤の縦方向分散率 (L)

$a_T$  : 岩盤の横方向分散率 (L)

$D_m$  : 岩盤中の核種  $i$  の分子拡散係数 (L<sup>2</sup>/T)

$T$  : 岩盤の屈曲率 (-)

$\epsilon_R$  : 岩盤の空隙率 (-)

$\rho_R$  : 岩盤の密度 (M/L<sup>3</sup>)

$K_{di}$  : 岩盤中の核種  $i$  の分配係数 (L<sup>3</sup>/M)

$V$  : 岩盤中の地下水水流速の大きさ (L/T)

(3) ニアフィールド総合性能評価コード「AREST-PNC」

「AREST-PNC」<sup>(4)</sup> は米国 Battelle PNL と共同開発しているニアフィールド総合性能評価コードであり緩衝材中の核種の移行モデルを中心としてオーバーパックの腐食モデル、ガラス固化体の浸出モデルが組み込まれている。「AREST-PNC」では、「RELEASE」で扱えない熱の影響や地球化学反応の影響を考慮するため、熱解析コード「TEMPEST」や地球化学計算コード「EQ3/6」がサポートコードとして利用できるようになっているのが特徴である。

緩衝材中を移行する核種の挙動を記述する基本方程式は核種の崩壊、遅延を考慮に入れた球座標系半径方向1次元の多孔質媒体中の移流分散方程式である。この基本方程式には適切な初期条件、境界条件のもとに解析解が与えられている。

(4) トレーサ試験解析コード「DIPOLE」

本コードは、注水井と揚水井の2孔間で行われるトレーザ試験のシミュレーション用に開発され、移流分散パラメータの最適値の推定を行うことができる。

基本方程式は「FEMWASTE-PNC」同様、通常の直交座標系平面2次元の多孔質媒体中の移流分

散方程式であり、解析の精度をあげるために、2つの井戸を中心とした曲線座標系において、有限差分法により解析される。

### 6.3 地層処分システム全体評価のためのコード体系

地下水移行シナリオに沿って、地層処分システム全体の評価を行うためには、以下の手順で一連の核種移行計算が行えるように計算体系を整備することが必要である。この体系では、6.2で述べた個別現象モデルをモジュールとして組み合わせ、

- ① ガラス固化体のインベントリ計算
- ② ファーフィールドの水理計算
- ③ ニアフィールドの核種移行計算
- ④ ファーフィールドの核種移行計算
- ⑤ 総量当量率計算

を図6-1に示すようなフローで計算する。

ニアフィールドの核種移行計算に「RELEASE」を用いる場合について説明すると、まず「ORIGEN-2」により計算されたガラス固化体の初期インベントリを「RELEASE」の内側（ガラス固化体側）境界に与え、地下水流动解析コード「FEMWATER」により決定した処分場近傍の地下水水流速を外側境界条件である均一混合セルに与える。これにより、「RELEASE」を実行し、緩衝材中の核種の移行率を計算することができる。「RELEASE」により計算された移行率をソースタームとし、「FEMWA-

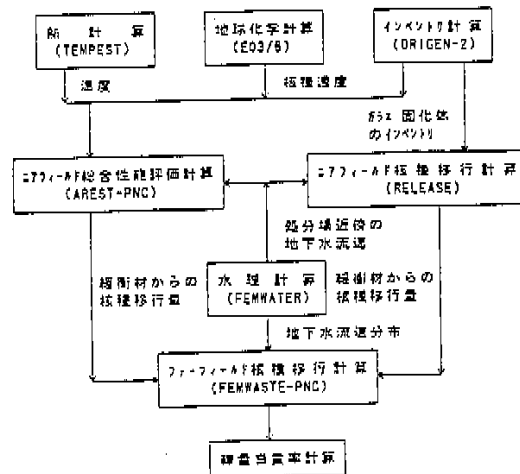


図6-1 統合化モデルによる計算の流れ  
（ ）内はコード名

TER」により計算されたファーフィールド全体の流速分布を用いてファーフィールドの核種移行計算を行なう。

「FEMWASTE-PNC」により体系内の核種濃度分布の時間変化が計算され、地表面への核種移行率から、例えば、(6.11) で示すような河川水摂取による線量当量率を計算することができる。

$$D_{\text{line}} = \frac{T_{\text{OUT}} M_{\text{dr}} DCF}{V} \quad (6.11)$$

ここに、

$D_{\text{line}}$  : 各種 i の年間線量当量率 (Sv/y)  
 $T_{\text{OUT}}$  : 各種 i の生物圈への年間移行率 (Bq/y)  
 $V$  : 希釈水量 ( $\text{m}^3/\text{y}$ )  
 $M_{\text{dr}}$  : 年摂取量 ( $\text{m}^3/\text{y}$ )  
 $DCF$  : 換算係数 (Sv/Bq)

#### 6.4 計算例

##### (1) 統合化モデルによる予備的性能解析<sup>1), 2), 3)</sup>

本解析では、地下水移行シナリオに基づく核種移行を計算し、地層処分システム性能を概略的に評価した。評価対象とした核種は崩壊系列をなすAm-241, Np-237, U-233の3核種である。計算は以下の流れに沿って実施した。

- ① インベントリ計算 (ORIGEN-2)
- ② 水理計算 (FEMWATER)

表 6-1 ニアフィールドの計算に必要なパラメータ  
(計算対象、数学モデル、計算条件)

パラメータ	
計算対象	$R_g$ : ガラス固化体の半径 $H_g$ : ガラス固化体の高さ $W_o$ : オーバーパックの厚さ $W_b$ : ベントナイト厚さ $W_m$ : 均一混合セルの厚さ
数学モデル	$K_{\text{dr}}$ : ベントナイト中の核種の分配係数 $\epsilon_b$ : ベントナイトの空隙率 $P_b$ : ベントナイトの真密度 $V_b$ : ベントナイト中の地下水水流速 $D_b$ : ベントナイト中の核種の拡散係数 $\lambda$ : 核種の崩壊定数
計算条件	$R_1$ : ガラス固化体中心からベントナイト内壁までの距離 $R_2$ : ガラス固化体中心からベントナイト外壁までの距離 $S_{\text{NN}}$ : ベントナイト外側の表面積 $\epsilon_R$ : 均一混合セルの空隙率 $P_R$ : 均一混合セルの真密度 $K_R$ : 均一混合セルの核種の分配係数 $S_R$ : 均一混合セルの外側の表面積 $V_R$ : 均一混合セルの中の地下水水流速 $T_s$ : オーバーパックの寿命 $C_g$ : 核種の溶解度 $J_n$ : 核種の浸出率

表 6-2 ファーフィールドの計算に必要なパラメータ  
(計算対象)

パラメータ	
計算対象	<ul style="list-style-type: none"> <li>・岩種</li> <li>・地形</li> <li>・斜面の長さ</li> <li>・地層の厚さ (風化岩盤)</li> <li>・(未風化岩盤)</li> </ul>
対象	<ul style="list-style-type: none"> <li>・処分場の深度</li> <li>・処分場の位置</li> <li>・処分場の面積</li> <li>・処分固化体本数</li> </ul>

表 6-3 ファーフィールドの計算に必要なパラメータ  
(数学モデル、計算条件)

パラメータ	
水理モデル	$h$ : 圧力水頭 $K_{\text{tr}}$ : 岩体の不飽和透水係数 $\theta$ : 岩体の体積含水率 $n$ : 岩体の空隙率 $\alpha$ : 岩体の圧縮率 $\beta$ : 地下水の圧縮率 $\rho$ : 地下水の密度 $\mu$ : 地下水の粘性係数 $g$ : 重力加速度
計算条件	<ul style="list-style-type: none"> <li>・ <math>\beta \sim h</math> : 体積含水率と圧力水頭の関係</li> <li>・ <math>K \sim h</math> : 透水係数と圧力水頭の関係</li> <li>・ 圧力水頭固定境界面</li> <li>・ 不透水境界面</li> </ul>
核種モデル	$c$ : 核種濃度 $V_L$ : 地下水流速 $\alpha_L$ : 岩体の横方向分散率 $B_T$ : 岩体の横方向分散率 $T$ : 岩体のねじれ度 $\epsilon_R$ : 岩体の空隙率 $P_R$ : 岩体の真密度 $D_m$ : 核種の分子拡散係数 $K_d$ : 岩体中の核種の分配係数 $\lambda$ : 核種の崩壊定数 $\alpha$ : 岩体の圧縮率
計算条件	<ul style="list-style-type: none"> <li>・ 核種濃度固定境界面</li> <li>・ 核種濃度勾配0境界面</li> <li>・ 核種流入流出フラックス0境界面</li> <li>・ ニアフィールドからファーフィールドへの年間核種放出量の経時変化</li> </ul>
数学モデル	$T_{\text{OUT}}$ : 核種の生物圈への放出量 $V$ : 希釈水量 $M_{\text{dr}}$ : 年摂取量 $DCF$ : 換算係数 $D_{\text{line}}$ : 核種の年間個人線量当量率
計算条件	<ul style="list-style-type: none"> <li>・ ファーフィールドから生物圈への年間核種放出量の経時変化</li> </ul>

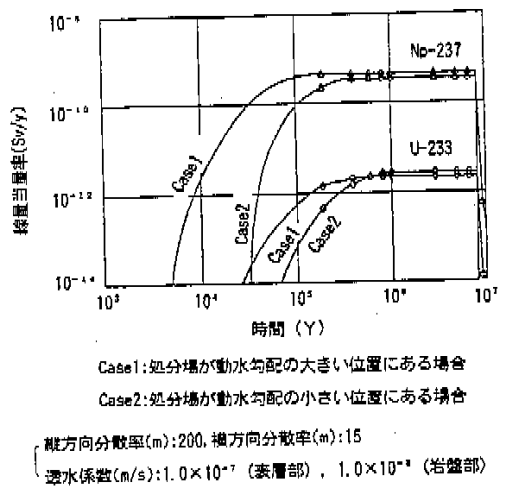


図 6-2 線量当量率の経時変化の計算例

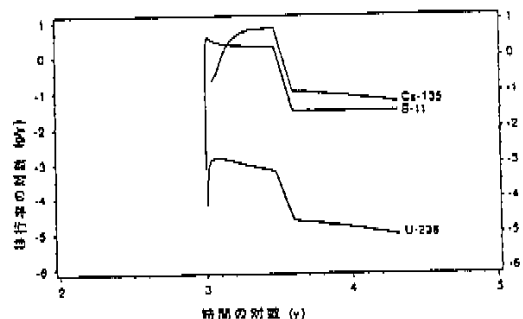


図 6-3 AREST-PNCによる移行率の経時変化の計算例

いては、①1,000年後瞬時破損 ②1,000年を中心とした0年から2,000までの破損を三角形の確立密度関数で近似 ③5,000年を中心とした0年から10,000年までの破損を三角形の確立密度関数で近似した3種類の形態を考えた。

例として、①の破損形態を考えた場合の緩衝材からのCs-135, U-238, B-11の移行率の経時変化を図6-3に示す。これをみると、Cs-135, B-11は溶解度が大きいために、U-238に比べ、移行率は3倍程度高めになっている。また、オーバーパック破損後約2,000年の時期に、移行率が急激に低下しているのは、オーバーパックの腐食に伴って生成される鉄とSiの沈殿が、オーバーパックの腐食の完了に伴い生成されなくなり、その結果、ガラスの溶解速度が減少するためである。

この試計算では、主にガラス溶解メカニズムに関して、地球化学的な検討を行った。今後は、鉄-Siの反応に関する実験的研究の成果を持ってより詳細なモデル化を行うとともに、緩衝材中での地球化学的反応も考慮できるようモデルの改良を進める予定である。

### (3) 國際確証研究プロジェクトINTRAVAL\*\* Case 3 の解析<sup>5), 6)</sup>

動燃事業団は、地層中の水理・核種移行モデルに関する国際確証研究プロジェクトINTRAVALに参加しており、分散モデルの確証研究に取り組んでいる。その一環として、Hanford Site DC-7/8のボーリング孔で実施された原位試験（ダイボール試験）のデータ（INTRAVAL Case 3）を使用し

\*\* INTRAVAL は放射性廃棄物処分場の性能評価を行うために、地下水と核種移行の概念モデルや散逸モデルの妥当性を評価する目的で行われている国際確証研究プロジェクトである。

- ③ 緩衝材中の核種移行計算 (RELEASE)
- ④ 地層中の核種移行計算(FEMWASTE-PNC)
- ⑤ 線量当量率計算

表6-1～表6-3は、それぞれニアフィールドおよびファーフィールドの計算に必要なパラメータの一覧である。これらのパラメータを適切に設定することにより、計算対象が設定でき、性能評価計算を行うことができる。図6-2は予備的性能評価計算から得られた、地表面に移行した核種の年間移行量から求めた線量当量率の経時変化である。これによると、Np, Uによる線量当量率は、ともに10万年程度になると定常状態に達し、それぞれ、 $1.0 \times 10^{-10}$  Sv/y,  $1.0 \times 10^{-12}$  Sv/yときわめて小さい。

#### (2) 地球化学的条件を考慮したニアフィールド核種移行に関する予備的解析<sup>4)</sup>

ガラス固化体（ホウケイ酸ガラス）、オーバーパック（低炭素鋼）、緩衝材（Na-ペントナイト）および周辺岩盤から構成されるニアフィールドのパリア機能を地球化学的条件を考慮して評価するため、ニアフィールド総合性能評価コード「AREST-PNC」を用いた予備的解析を行った。地球化学的条件がガラスの溶解に及ぼす影響を評価するため、長半減期の核種であり、溶解度の大きいCs-135と溶解度の小さいU-238を対象として計算を実施した。これらの核種はガラス主成分であるとSiとコングルエントに溶解すると考えてモデル化されている。

併せて、ガラスの成分であり、溶解度の大きいB-11の移行を評価した。オーバーパックの破損につ

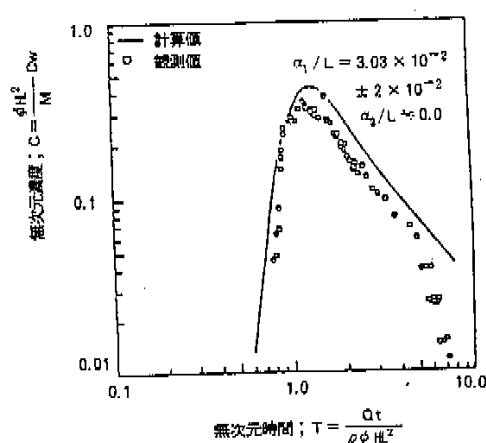


図 6-4 計算値と実測値の比較

て、特に横方向の分散率の影響に着目して、上記の分散モデルの妥当性を検討した。「DIPOLE」を用い、縦方向及び横方向の分散率を推定した。

図 6-4 に「DIPOLE」の計算値と実測値との比較を示す。計算値は  $\alpha_1/L$  が  $0.0303$ ,  $\alpha_2/L$  が  $0$  の時最も実測値と一致した。ここで、 $\alpha_1$  は縦方向分散率、 $\alpha_2$  は横方向分散率、 $L$  はトレーサ試験に使用したボーリング孔間距離である。本試験に関しては Gelhar<sup>2), 3)</sup> は、横方向の分散率を無視して導出した解析解に基づいて、 $\alpha_1/L$  は、 $0.02 \sim 0.05$  の間にいると推定しており、本研究のモデルから得られた値と良く一致した。 $\alpha_2/L$  に関しては、この試験においては有意な値を示さなかつた。

#### (4) カナダ AECL 原位置試験データに基づく水理・核種移行計算モデルの適合性の検討

動燃と AECL (Atomic Energy of Canada Limited) とは、共同研究によりカナダホワイトシェル原子力研究サイトにおける花崗岩岩盤中の側れ日帶を対象とした原位置の水理・トレーサ試験（ダイポール試験）を実施している。これまでに得られた原位置試験観測データをもとに、「FEMWATER」、「FEMWASTE-PNC」、「DIPOLE」を用いて、透水量係数、帯水層幅、縦方向・横方向の分散率を推定し、各コードに使用されている水理・核種移行モデルの適合性について検討を行うとともに、AECL で開発した有限要素法による水理・核種移行計算コード「MOTIF」とのベンチマークを実施した。

パラメータの推定は以下のようにして行われた。

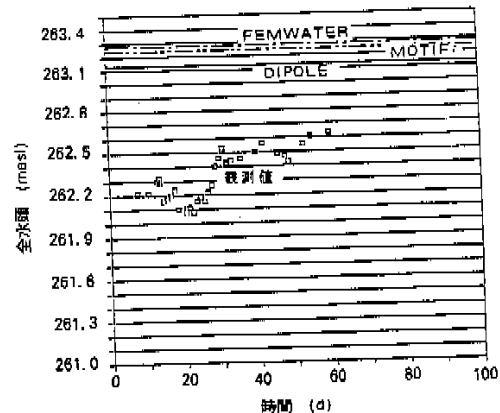


図 6-5 WN12における全水頭の計算値と観測値の比較

まず、5 本のボーリング孔 (WN1, WN4, WN8, WN10, WN12) から得られた全水頭、ボーリング孔近傍の透水量係数及び亀裂情報から計算領域全体の透水量係数分布の推定を行う。次に、この空間分布をもとに 2 孔間 (WN8: 注水井、WN12: 排水井) で行われたトレーサ試験（ダイポール試験）を解析し、縦方向・横方向の分散率を推定する。これをパラメータの最適値を得るまで繰り返す。

透水量係数の空間分布の推定は「MOTIF」を用いて行われ、 $1.6 \times 10^{-2}$ 、 $9.0 \times 10^{-3}$ 、 $1.3 \times 10^{-5}$  ( $m^3/s$ ) の 3 領域に分けられた。図 6-5 に「FEMWATER」、「DIPOLE」、「MOTIF」により得られた、WN12における定常状態での全水頭の計算値と観測値の比較を一例として示す。3 つのコードはお互いに良く一致した結果が得られているが、観測値と計算値を比較する。

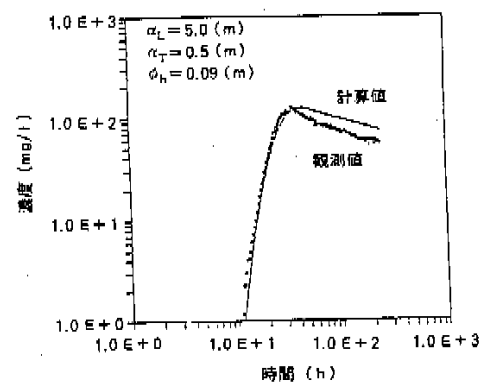


図 6-6 WN12における破過曲線の計算値と観測値の比較

値の差は1m~2m程度ある。この理由として、水位がまだ定常に達していないと考えられること、水位の季節変動パターンが考慮されていないこと、透水量係数の推定方法に改良の余地があること、水の密度変化等が考慮されてないこと等が挙げられる。図6-6は「DIPOLE」によるWN12における破過曲線の計算値と観測値との比較を示している。この時の縦方向・横方向の分散率の値はそれぞれ5.0、0.5(m)である。この図より破過曲線の立ち上がりの部分は良く一致しているがテールの部分があまり一致していないことがわかる。今後、他の原位置試験データについても解析を行い、モデルの妥当性を引き続き検討する予定である。

### 6.5 あとがき

以上、地層処分システムの性能評価を行うために開発を行ってきたモデル、コードについて説明した。これらのモデルにより扱われている現象は、今後実験的研究からの成果を組み入れながら、詳細化を図って行く予定である。個別現象のより詳細なモデル化とともに、それに併せて、これらを統合した全体評価モデルの開発を進めて行く考えである。こ

の一環として、既に熱・水理・核種移行および応力・熱・水理の連成現象を扱う3次元のコードの開発に着手している。

### 参考文献

- 1) 田中、梅木他、ニアフィールドおよびファーフィールドにおける水理・核種移行評価モデルの統合化、日本原子力学会放射性廃棄物研究会報、pp.112~144、(1990)
- 2) S.MASUDA, H.UMEKI et al., OUTLINE OF PERFORMANCE ASSESSMENT STUDY ON GEOLOGICAL ISOLATION SYSTEM IN JAPAN, Proceedings of 1990 International High - Level Radioactive Waste Management Conference, Vol.1, pp.339~347, (1990)
- 3) S.MASUDA, N.SASAKI et al. AN OVERVIEW OF PERFORMANCE ASSESSMENT STUDY BY PNC FOR THE GEOLOGICAL ISOLATION OF HLW, Proceedings of the Symposium on SAFETY ASSESSMENT OF RADIOACTIVE WASTE REPOSITORIES, pp.842~848, (1989)
- 4) A.M.Liebetrau, D.W.Engel et al., PRELIMINARY RADIONUCLIDE RELEASE CALCULATIONS USING THE AREST-PNC CODE, PROCEEDINGS OF THE 1989 JOINT INTERNATIONAL WASTE MANAGEMENT CONFERENCE, Vol.2, pp.565~571, (1989)
- 5) 大井、出光他、ワールド試験用水理・核種移行評価モデルの開発、日本原子力学会放射性廃棄物研究連絡会報、pp.71~81、(1989)
- 6) T.Ohi, K.Idemitsu et al., CODE DEVELOPMENT FOR ANALYZING FIELD TRACER TEST DATA, PROCEEDINGS OF THE 1989 JOINT INTERNATIONAL WASTE MANAGEMENT CONFERENCE, Vol.2, pp.335~339, (1989)
- 7) Gelhar, L.W., Collins, M.A., General Analysis of Longitudinal Dispersion in Non-uniform Flow, Water Resour. Res.7(6), pp.1511~1521, (1971)
- 8) Gelhar, L.W.: A analysis of Two-Well Tracer Test with a Pulse Input, Rockwell Hanford Operations, RHO-BW-BIP, Richland, W.A., (1982)